

Hypothèse : On étudie uniquement des systèmes de masse constante.

I Forces

1.) Définition :

- Une force peut : - mettre en mouvement un objet
- dévier la trajectoire d'un objet
- déformer un objet.

Une force est représentée par un vecteur \vec{F} . L'origine est le point d'application de la force. La norme du vecteur donne la valeur de la force, avec une échelle appropriée. La direction et le sens sont ceux de la force.

2.) Forces à distance

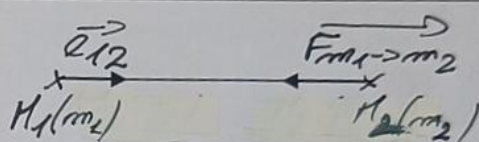
a) Force d'interaction gravitationnelle : Loi d'attraction universelle (Newton 1687)

Deux points matériels M_1 et M_2 de masse gravitationnelle m_1 et m_2 , et distants de r , exercent l'un sur l'autre une force attractive, appelée force d'interaction gravitationnelle :

$$\vec{F}_{m_1 \rightarrow m_2} = -G \frac{m_1 m_2}{r^2} \vec{e}_{12} = m_2 \vec{G}_1(M_2) \quad G = 6,67 \cdot 10^{-11} \text{ N.m}^2 \cdot \text{kg}^{-2} \quad \text{Constante de gravitation}$$

$$\Rightarrow \vec{e}_{12} = \frac{\vec{M}_1 M_2}{\|\vec{M}_1 \vec{M}_2\|}$$

vecteur unitaire de
 $M_1 M_2$ en kg



Champ de gravitation créé par m_1 en M_2 : $\vec{G}_1(M_2) = -G \frac{m_1}{r^2} \vec{e}_{12}$

Poids : force gravitationnelle exercée par la terre sur $M(m)$ $\vec{P} = m \vec{g}$ où $\vec{g} = -g \vec{e}_z$

\vec{g} est le champ de pesanteur; \vec{e}_z est suivant la verticale ascendante.

$g = 9,81 \text{ m.s}^{-2}$ est l'accélération de la pesanteur au voisinage du sol, à une latitude $\lambda = 45^\circ$.

g dépend de la latitude et de l'altitude

b) Forces électromagnétiques

- force d'interaction électrostatique : Loi de Coulomb

Deux points matériels immobiles M_1 et M_2 de charge électrostatique q_1 et q_2 , et distants de r , exercent l'un sur l'autre une force, appelée force d'interaction électrostatique :

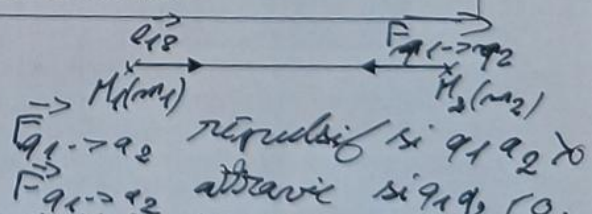
$$\vec{F}_{q_1 \rightarrow q_2} = \frac{1}{4\pi\epsilon_0} \frac{q_1 q_2}{r^2} \vec{e}_{12} = q_2 \vec{E}_1(M_2) \quad \epsilon_0 = 8,854 \cdot 10^{-12} \text{ F.m}^{-1} \quad \text{Permittivité absolue du vide}$$

$$\vec{e}_{12} = \frac{\vec{M}_1 M_2}{\|\vec{M}_1 \vec{M}_2\|} \quad \text{q en coulomb (C)}$$

Champ électrostatique créé par q_1 en M_2 : $\vec{E}_1(M_2) = \frac{1}{4\pi\epsilon_0} \frac{q_1}{r^2} \vec{e}_{12}$

Particule en mouvement dans un champ électromagnétique (\vec{E}, \vec{B}) : elle est soumise à la force de Lorentz
 $\vec{f} = q(\vec{E} + \vec{v} \wedge \vec{B})$

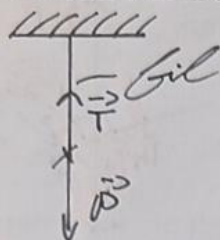
$\vec{B} \Rightarrow$ champs magnétique créé par des courants ou des courants.



3.) Tension et force de rappel

a) Tension d'un fil

Le point matériel accroché à un fil est soumis à une force appelée Tension du fil \vec{T} , colinéaire au fil, si le fil est tendu.



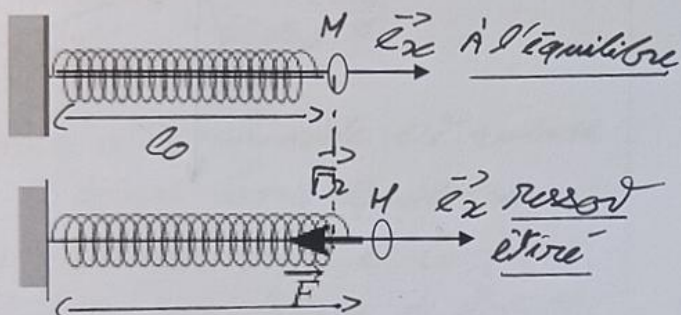
$\vec{T} - \vec{P} = \vec{0}$ à l'équilibre
Si le fil n'est pas tendu,
la tension est nulle, $\vec{T} = \vec{0}$

b) Force de rappel d'un ressort

L'anneau accroché au ressort est soumis à une force appelée Force de rappel du ressort \vec{F}_r :

k est la constante de raideur du ressort, l_0 sa longueur à vide, l sa longueur à l'instant considéré,

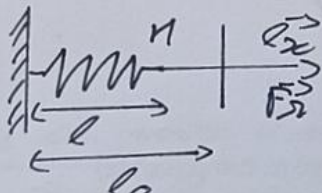
$\vec{F}_r = -k(l - l_0)\vec{e}_x$ où le vecteur unitaire \vec{e}_x est dans le sens de l'allongement du ressort. On peut poser $x = l - l_0$



$$\vec{F}_r = -k(l - l_0)\vec{e}_x$$

Si \vec{e}_x est dans le sens de l'étire?

Ressort compressé :



$$l < l_0$$

$$l - l_0 < 0$$

\vec{F}_r de le sens de \vec{e}_x

Si on choisit \vec{e}_x dans
le sens de la compression
du ressort $\vec{F}_r = +k(l - l_0)\vec{e}_x$

4.) Forces de contact (ou forces de liaison)

a) par le support solide

Si un point matériel ou un solide est soumis à se déplacer sur une courbe ou une surface, cela se traduit par :

- des relations supplémentaires sur les coordonnées d'espace

- une force exercée par le support sur le point matériel, appelée Force de contact : $\vec{R} = \vec{R}_T + \vec{R}_N$

✓ \vec{R}_N est la réaction du support ou composante normale, elle est perpendiculaire au support.

✓ \vec{R}_T est la force de frottement solide ou composante tangentielle, elle est colinéaire et de sens opposé à la vitesse.

✗ $|\vec{R}_T| = f_d ||\vec{R}_N||$ si $v \neq 0$ et $|\vec{R}_T| \leq f_s ||\vec{R}_N||$ sinon ($f_s \cdot v = 0$)

Gd coeff de frotte? dynamique

Gd coeff de frotte? statique

en général on prend Gd x 0.5

X X X Ex: Solide sur un plan incliné

$S = \{$ petit cercle $\} \approx$ assimiли à son centre de gravité

R_{TG} : vecteur galiléen

$$\text{Forces: } \vec{P} = mg\vec{j}, \vec{R} = \vec{R}_T + \vec{R}_N$$

$$\text{A l'équilibre: } \vec{P} + \vec{R} = \vec{0}$$

$$\text{Sur } (G_x): -\|\vec{R}_T\| + \|\vec{P}_x\| = 0$$

$$\text{ou } \|\vec{P}_x\| = P \cos(\frac{\pi}{2} - \alpha)$$

$$= mg \sin \alpha$$

$$\Rightarrow -\|\vec{R}_T\| + mg \sin \alpha = 0 \quad (1)$$

$$\text{Sur } (Gg): -\|\vec{P}_g\| + \|\vec{R}_N\| = 0$$

$$\text{ou } \|\vec{P}_g\| = \cos \alpha$$

$$\Rightarrow -mg \cos \alpha + \|\vec{R}_N\| = 0 \quad (2)$$

$$(1) \quad \|\vec{R}_T\| = mg \sin \alpha$$

$$(2) \quad \|\vec{R}_N\| = mg \cos \alpha$$

b) par un fluide

Force de frottement fluide sur un corps en mouvement : $\vec{F} = -\alpha \vec{v}$ où $\alpha > 0$ est le coefficient de frottement fluide.

Sion augmente la vitesse : $\vec{F} = -\alpha \vec{v}^2 \vec{e}_v$

$$\text{et } \vec{e}_v = \frac{\vec{v}}{\|\vec{v}\|} = \frac{\vec{v}}{v} \quad \vec{F} = -\alpha v \vec{v} \quad \text{où } v = \|\vec{v}\|$$

l'intervalle de vitesse

Poussée d'Archimède

Hypothèses Fluide ou ensemble de fluides quelconques (inhomogène, compressible)

au repos dans un référentiel galiléen, soumis au champ de pesanteur uniforme.

Théorème d'Archimède : Les forces de pression exercées par un fluide, ou un ensemble de fluides, sur un corps totalement immergé sont équivalentes à une force unique, appelée Poussée d'Archimède égale à l'opposé du poids des fluides déplacés et appliquée au centre de poussée C (centre d'inertie du volume de fluide déplacé)

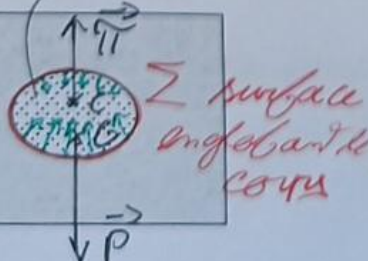
$$\vec{P} = -m_{\text{fluide déplacé}} \vec{g} = -\rho_{\text{fluide}} V_{\text{corps}} \vec{g}.$$

La pression augmente avec la profondeur : la pression est donc plus importante au niveau de la partie basse de la surface Σ .

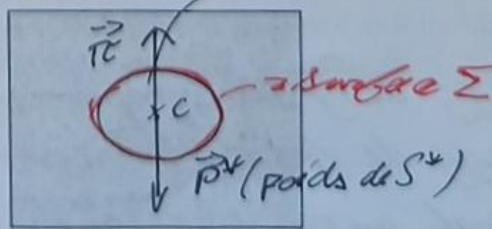
Principe

l'objet (S) est immergé de centre d'inertie G

l'aire de pression



P_b fixé associé (S*) volume de fluide déplacé



Condition de validité du théorème d'Archimède

D'après la loi fondamentale de la statique des fluides, l'expression de la pression dans le fluide ne dépend que du champ de pesanteur. On admet que la pression exercée sur la surface Σ est la même dans les deux cas. admis

L'fluide ou ensemble de fluide
est en équilibre

Condition d'équilibre de (S^*)

$$\vec{P} + \vec{P}^* = \vec{0} \text{ où } \vec{P}^* = \text{poids de } S^*$$

$$\Rightarrow \vec{P}^* = m_{\text{fluide}} \vec{g}$$

$$= P_{\text{fluide}} V_{\text{disloc}} \vec{g}$$

$(\vec{P}^*$ appliquée au centre d'inertie C de (S^*))

 $\Rightarrow \vec{F}_C = -\vec{P}^*$

$$\boxed{\vec{F}_C = -P_{\text{fluide}} V_{\text{disloc}} \vec{g}}$$

La poussée d'Archimède est valable pour tout corps hors équilibre

La positi° relative de C et G peut entraîner des problèmes de stabilité
 \Rightarrow lever le fond d'un voilier de façon à avoir G plus bas/C.

Exemple d'application :

① Glaçon dans un verre d'eau

$$\vec{F}_C = \vec{P}_{\text{air}} + \vec{P}_{\text{eau}}$$

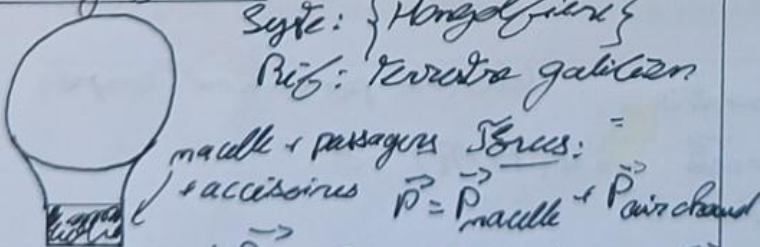
$$\vec{P}_{\text{air}} = -P_{\text{air}} V_{\text{marche}} \vec{g}$$

$$\vec{P}_{\text{eau}} = -P_{\text{eau}} V_{\text{marche}} \vec{g}$$

② Mongolfière

Système : {Mongolfière}

Réf : Revue Galilée



mâche + passagers : $F_{\text{mâche}}$

$$+ accessoires \quad \vec{P} = \vec{P}_{\text{mâche}} + \vec{P}_{\text{air chaud}}$$

$$\text{où } \vec{P}_{\text{air chaud}} = P_{\text{chaud}} V_{\text{ballon}} \vec{g}$$

Boussole d'Archimède : $\vec{F}_C = -P_{\text{froid}} V_{\text{ballon}} \vec{g}$

(en négligeant $V_{\text{mâche}}$ devant V_{ballon})

Forces de frottement négligeables juste au moment du décollage ($v \approx 0$)

Condition de décollage : $\vec{F}_D : m\vec{a} = \vec{P} + \vec{F}_C = \vec{F}$

où F : force ascensionnelle

$$m\vec{a} = m_{\text{mâche}} \vec{g} + P_{\text{chaud}} V_{\text{ballon}} \vec{g}$$

$$- P_{\text{froid}} V_{\text{ballon}} \vec{g}$$

$$m\vec{a} = \vec{g} [m_{\text{mâche}} + V_{\text{ballon}} (P_{\text{chaud}} - P_{\text{froid}})]$$

Condition de décollage :

Il faut \vec{a} en sens inverse de \vec{g}

$$\Rightarrow m_{\text{mâche}} + V_{\text{ballon}} (P_{\text{chaud}} - P_{\text{froid}}) \gg$$

II Quantités de mouvement

1.) Définition

a) Quantité de mouvement du point M(m) par rapport à un référentiel \mathcal{R} : $\vec{p}(M/\mathcal{R}) = m\vec{v}(M/\mathcal{R})$ / (if \vec{p} || in kg.m.s⁻¹)

Expérimentalement: La masse inerte se confond avec la masse gravitationnelle. (*de la force d'inertie gravitationnelle*). b) Quantité de mouvement et énergie cinétique.

b) Quantité de mouvement d'un système de points $Syst = \{M_i (m_i)\}$ par rapport à un référentiel R .

$$\text{Def: } \vec{p}(\text{Syst}/\mathcal{R}) = \sum \vec{p}(M_i/\mathcal{R})$$

Bonj.: $\vec{v}(\text{Syst}/\mathcal{R}) = m\vec{v}(G/\mathcal{R})$ pour un système de masse constante

$$\vec{P}(Sect^{\partial}/R) = \sum_i m_i \vec{v}(H_i/R)$$

Def: Centre d'inertie du système G
(ou centre de masse)

$$\sum_i m_i \vec{G}_{M_i} = \vec{0}$$

$$\Rightarrow \sum_i m_i (\vec{G}\vec{O} + \vec{O}\vec{M}_i) = \vec{O}$$

$$\Rightarrow \sum_i (m_i) \vec{BG} = \sum_i (m_i) \vec{OH_i}$$

$$m = \sum_i m_i$$

mass Total du système

$$\Rightarrow m \vec{OG} = \sum_i m_i \vec{OHi}$$

$$\Rightarrow \bar{OG} = \frac{\sum(m_i \cdot \bar{OH}_i)}{m}$$

Oise ; origine du ruisseau dit à R

$$\Rightarrow \vec{v}(G/R) = \frac{d\vec{G}}{dR}|_R = \frac{d(\sum m_i \vec{e}_R)}{dR}$$

mis de sorte que $\sum m_i = \sum m_i \cdot \text{constante}$
 si le système est fermé)

2.) Principe d'inertie (ou première loi de Newton) et référentiels

Principe d'inertie (ou première loi de Newton)

Il existe au moins un référentiel privilégié appelé référentiel inertiel ou galiléen dans lequel le mouvement de tout point isolé est rectiligne et uniforme.

Point isolé: Soumis à aucune interaction

Valable pour tout corps

$$\text{MVT radiale uniforme: } \vec{v}(M/R) = \vec{c} \Rightarrow \vec{a}(M/R) = \vec{0}$$

$$\text{Lösung: } \tilde{\sigma}^*(G/R) = \tilde{\sigma}^R \Rightarrow \tilde{\sigma}^*(G/R) = \tilde{\sigma}^R$$

Propriété :

L'ensemble des référentiels galiléens est constitué de tous les référentiels en translation rectiligne uniforme les uns par rapport aux autres.

En effet, si \mathcal{R} est en translation rectiligne uniforme par rapport à \mathcal{R}_0 , un mouvement rectiligne uniforme dans \mathcal{R}_0 est aussi rectiligne uniforme dans \mathcal{R} .

Référentiel de Copernic $\mathfrak{R}_C(C, \vec{e}_{x_C}, \vec{e}_{y_C}, \vec{e}_{z_C})$

- origine : centre d'inertie du système solaire
- axes : direction de trois étoiles fixes de notre galaxie

Meilleur référentiel galiléen mis en évidence expérimentalement

Référentiel héliocentrique $\mathfrak{R}_H(S, \vec{e}_{x_H}, \vec{e}_{y_H}, \vec{e}_{z_H})$

- origine : centre d'inertie du soleil
- axes : direction de trois étoiles fixes de notre galaxie

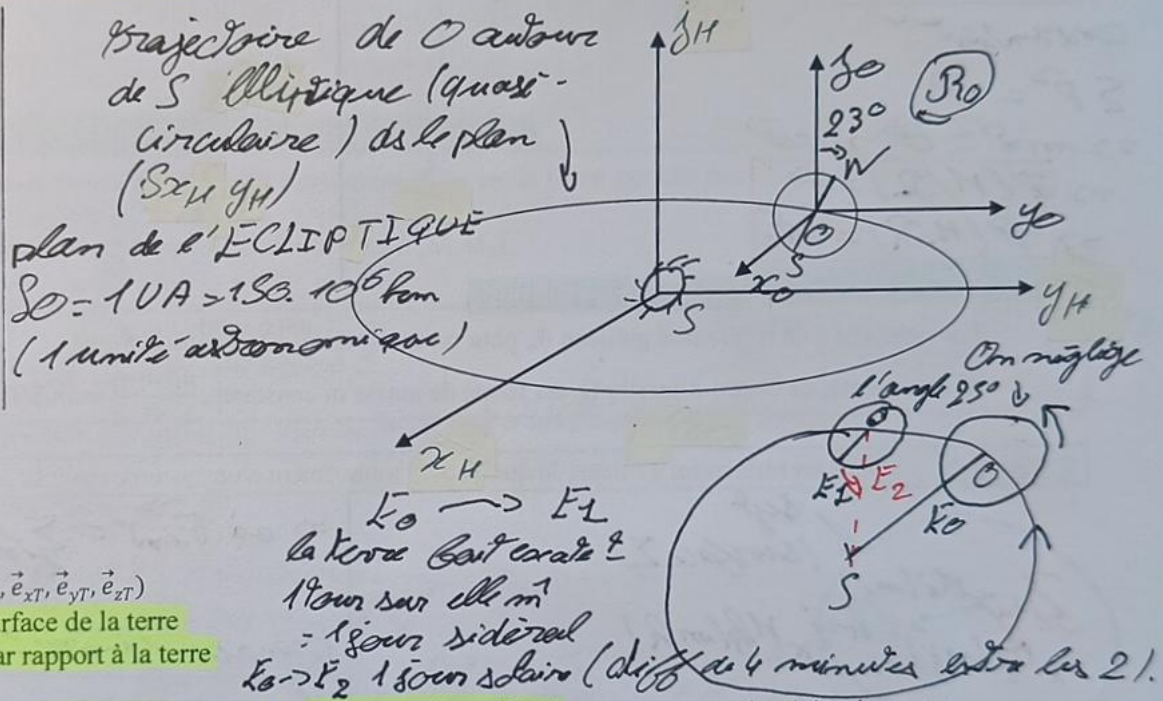
Décalé de \overline{CS} par rapport à \mathfrak{R}_C , supposé galiléen avec une excellente approximation.

Référentiel géocentrique $\mathfrak{R}_0(0, \vec{e}_{x_0}, \vec{e}_{y_0}, \vec{e}_{z_0})$

- origine : centre d'inertie de la terre
- axes : directions de trois étoiles fixes de notre galaxie

Mouvement de translation elliptique de $\mathfrak{R}_0/\mathfrak{R}_H$ de période 365,25 jours solaires.

\mathfrak{R}_0 est supposé galiléen pour des durées très courtes devant l'an Ω des masses pas trop grandes.

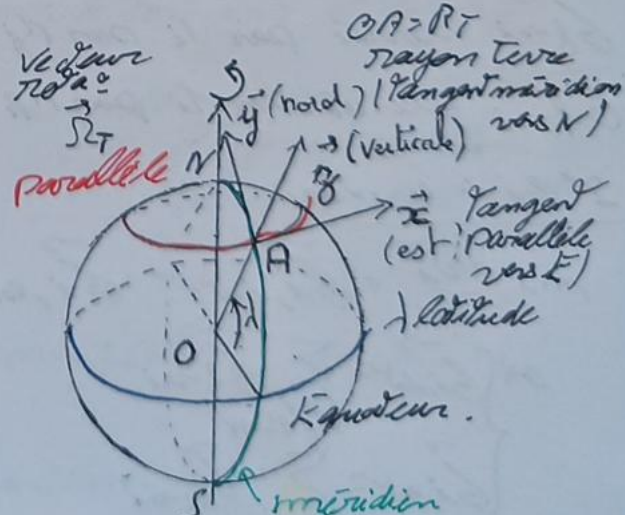


Référentiel terrestre $\mathfrak{R}_T(A, \vec{e}_{x_T}, \vec{e}_{y_T}, \vec{e}_{z_T})$

- origine : un point à la surface de la terre
- axes : directions fixes par rapport à la terre

Mouvement de rotation autour de l'axe des pôles de période un jour sidéral et mouvement circulaire du centre d'inertie de la terre O autour du soleil.

\mathfrak{R}_0 est supposé galiléen pour des durées courtes devant 1 jour (l'an Ω des masses pas trop grandes).



3.) Loi de la quantité de mouvement (ou deuxième loi de Newton)

a) Pour un point matériel M(m)

Par rapport à tout référentiel galiléen \mathcal{R} , le mouvement d'un point matériel M de masse (inerte) m vérifie la relation : $\frac{d\vec{p}(M/\mathcal{R})}{dt} = \sum \vec{F}$ appliquées au point M

Si m est constante, $m\vec{a}(M/\mathcal{R}) = \sum \vec{F}$ appliquées au point M

$$\text{Dém. : } \frac{d(m\vec{v}(M/\mathcal{R}))}{dt} = m \frac{d\vec{v}(M/\mathcal{R})}{dt} \\ = m\vec{a}(M/\mathcal{R}) \\ \Rightarrow \text{Sim et cste}$$

Rq: Point isolé : aucune interaction
ou pseudo-isolé : les interactions se conservent

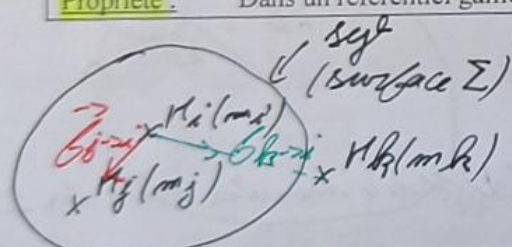
$$\sum \vec{F} = \vec{0} \\ \Rightarrow m\vec{a}(M/\mathcal{R}) = \vec{0} \\ \Rightarrow \vec{a}(M/\mathcal{R}) = \vec{0} \rightarrow \\ \Rightarrow \vec{v}(M/\mathcal{R}) = \text{cste}$$

b) Pour un système de points matériels $S = \{M_i (m_i)\}$

Par rapport à tout référentiel galiléen \mathcal{R} , pour un système, $\frac{d\vec{p}(Syst/\mathcal{R})}{dt} = \sum \vec{F}_{ext}$

Si le système, de centre d'inertie G, est fermé de masse m constante, $\frac{d\vec{p}(G/\mathcal{R})}{dt} = m\vec{a}(G/\mathcal{R}) = \sum \vec{F}_{ext}$

Propriété : Dans un référentiel galiléen, la quantité de mouvement d'un système isolé se conserve.



$\vec{G}_{j→i}$ exercée sur M_i par M_j & $Syst$
 $\vec{G}_{k→i}$ exercée sur M_i par M_k & $Syst$

2^e loi de Newton:

$$m_i \frac{d\vec{v}_i}{dt} = \vec{G}_{i,int} + \vec{G}_{i,ext}$$

$$\text{où } \left\{ \begin{array}{l} \vec{G}_{i,int} = \sum_{j \neq i} \vec{G}_{j→i} \\ \vec{G}_{i,ext} = \sum_{k \neq i} \vec{G}_{k→i} \\ \vec{G}_{k→i} = \sum_{j \neq k} \vec{G}_{j→i} \\ M_k & \text{et } Syst \end{array} \right.$$

Pour le système complet:

$$\sum_i m_i \frac{d\vec{v}_i}{dt} = \sum_i \vec{G}_{i,int} + \sum_i \vec{G}_{i,ext}$$

$$\sum_i m_i \frac{d\vec{v}_i}{dt} = \vec{F}_{int} + \vec{F}_{ext}$$

$$\Rightarrow \text{où } \vec{F}_{int} = \sum_i \vec{G}_{i,int} \text{ où } \vec{G}_{i,int} = \sum_{j \neq i} \vec{G}_{j→i}$$

$$\text{Brinage d'intérieur : } \vec{G}_{j→i} = -\vec{G}_{i→j}$$

Les forces à l'intérieur du système se compensent 2 à 2 $\Rightarrow \vec{F}_{int} = \vec{0}$

$$\vec{p}(Syst/\mathcal{R}) = \sum_i (m_i \vec{v}_i) = m \vec{v}_G$$

pour un système de masse cste

$$\Rightarrow \frac{d\vec{p}(Syst/\mathcal{R})}{dt} = \sum_i m_i \frac{d\vec{v}_i}{dt}$$

$$= m \frac{d\vec{v}_G}{dt} = m \vec{a}_G$$

Pour un syst de masse cste :

$$m \vec{a}_G = \vec{F}_{ext}$$

Résultante des actions extérieures

Rq : Système isolé (ou pseudo isolé) :

9

$$\sum \vec{F}_{ext} = \vec{0} \Rightarrow d\vec{P}/dt (syst/R) = \vec{0}$$

$$\Rightarrow \boxed{\vec{P}(syst/R) = \vec{0}}$$

Système de masse constante : $\vec{a}^*(G/R) = \vec{0}$

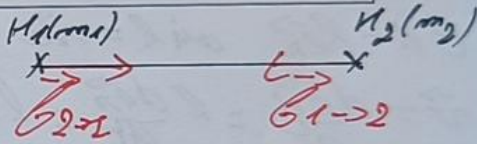
$$\Rightarrow \boxed{\vec{P}(G/R) = \vec{0}}$$

4.) Principe des actions réciproques (ou troisième loi de Newton).

Soient M_1 et M_2 deux points matériels en interaction. $\vec{f}_{1 \rightarrow 2}$ est la force exercée par M_1 sur M_2 et $\vec{f}_{2 \rightarrow 1}$ la force exercée par M_2 sur M_1 .

Les forces d'interaction sont opposées et colinéaires à ($M_1 M_2$).

$$\vec{f}_{2 \rightarrow 1} = -\vec{f}_{1 \rightarrow 2} \text{ et } \vec{M}_1 \vec{M}_2 \wedge \vec{f}_{1 \rightarrow 2} = \vec{0}$$



1) Variables pour tous deux en interaction
j'aime bien dire des forces de contact et d'distance

ex: interactions gravitationnelles

ex: Syst: $\{M_1, M_2\}$ (M_1, M_2 en interaction
pas d'autres interactions)

Réf: galilien

LFD: pour:

$$M_1: \frac{d\vec{P}_1}{dt} = \vec{G}_{2 \rightarrow 1} \quad (1)$$

$$M_2: \frac{d\vec{P}_2}{dt} = \vec{G}_{1 \rightarrow 2} \quad (2)$$

III Applications

$$(1) + (2): \frac{d\vec{P}_1}{dt} + \frac{d\vec{P}_2}{dt} = \vec{G}_{2 \rightarrow 1} + \vec{G}_{1 \rightarrow 2} = \vec{0}$$

d'après le principe d'interaction.

$$\Rightarrow \frac{d}{dt} (\vec{P}_1 + \vec{P}_2) = \vec{0}$$

déterminé par les CI :

$$\Rightarrow \boxed{\vec{P}_1 + \vec{P}_2 = \vec{C}_0}$$

\vec{P}_{syst} se conserve
pour un système isolé

$$\Rightarrow \boxed{m_1 \vec{v}_1 + m_2 \vec{v}_2 = \vec{C}_0}$$

1.) Méthode de résolution d'un problème de mécanique

1. Définir le système étudié.

Définir le référentiel par rapport auquel on étudie le mouvement. Est-il galiléen ? Oui

2. Bilan des forces appliquées (à distance, contact, tension, rappel)

3. Application des théorèmes généraux LFD, Th de l'Imp, Th de l'Ém.

4. Choix d'un repère de projection et projection dans ce repère.

5. Intégration des équations avec prise en compte des conditions initiales sur la position et la vitesse.

$$\ddot{\theta} = -\frac{d}{dt}(v_0 \sin \theta_0 t)$$

$$\Rightarrow \|\vec{F}\| = mg \cos \theta + m l \dot{\theta}^2 v_0 \sin^2 \theta_0 t$$

Ré importante: En présence de frottement fluides $\vec{F}_f = -d \vec{v}$ $d > 0$.

$$\vec{v} = l \dot{\theta} \vec{e}_\theta \Rightarrow \vec{F}_f = -N l \dot{\theta} \vec{e}_\theta$$

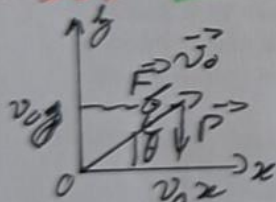
Condition d'ordre rangé (sur \vec{e}_θ)

$$\ddot{\theta} \sim 0 \text{ sur } \vec{e}_\theta: ml \ddot{\theta} = -dl \dot{\theta} - mg \sin \theta$$

$$\Rightarrow \ddot{\theta} + \frac{d}{m} \dot{\theta} + \frac{g}{l} \sin \theta = 0$$

$$\text{Moy: Opt: } \ddot{\theta} + \frac{d}{m} \dot{\theta} + \frac{g}{l} \sin \theta = 0 \quad (15SE6)$$

Exercice 3.) Tir d'un projectile avec frottements dans le champ de pesanteur uniforme



Force frottement fluide: $\vec{F}_f = -d \vec{v}$ $d > 0$

Système: {un matériau, point matériel}; Région: Terre

Forces: $\vec{P} = mg$; $\vec{F}_f = -d \vec{v}$

LFD: $\vec{P} + \vec{F}_f = m \vec{a}$

$$m \ddot{x} = 0 - d \dot{x} \Rightarrow \ddot{x} + \frac{d}{m} \dot{x} = 0 \quad (1)$$

$$m \ddot{y} = 0 - d \dot{y} \Rightarrow \ddot{y} + \frac{d}{m} \dot{y} = 0 \quad (2)$$

$$m \ddot{y} = -mg - d \dot{y} \Rightarrow \ddot{y} + \frac{d}{m} \dot{y} = -g \quad (3)$$

$$(1) \Rightarrow \frac{d^2 x}{dt^2} + \frac{d}{m} \dot{x} = 0$$

$$(2) \Rightarrow \frac{d^2 y}{dt^2} + \frac{d}{m} \dot{y} = 0$$

$$(3) \Rightarrow \frac{d^2 y}{dt^2} + \frac{d}{m} \dot{y} = -g$$

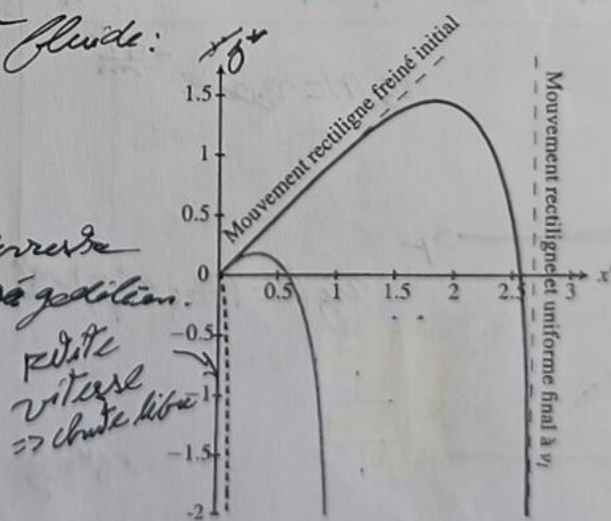


Figure 15.15 – Évolution de la trajectoire pour différentes vitesses initiales. L'angle de tir est fixé à 45° et la vitesse initiale prend les valeurs de 0, $1v_f$ (tirets), v_f (trait continu gris) et $10v_f$ (trait continu noir).

$$(1) \Rightarrow v_x(t) = A e^{-\frac{dt}{m}} \text{ car } v_x(0) = A \Rightarrow v_x(t) = A e^{-\frac{dt}{m}}$$

$$\text{car } v_x(t=0) = v_{0x} = A \Rightarrow v_x(t) = v_{0x} e^{-\frac{dt}{m}}$$

$$(2) \Rightarrow v_y(t) = 0 \text{ car } v_y(t=0) = 0$$

$$(3) \Rightarrow v_y(t) = C e^{-\frac{dt}{m}} \text{ car } v_y(t=0) = -g \frac{dt}{m}$$

$$\Rightarrow v_y(t) = C e^{-\frac{dt}{m}} - g \frac{dt}{m} \text{ et } v_y(t=0) = C - g \frac{dt}{m} = v_{0y} \neq -v_{0x} \text{ car } v_{0x} = v_{0y}$$

$$12 \quad x(t) = \int_0^t v_x(t) = -\frac{m}{d} v_{0x} e^{-\frac{dt}{m}} + \frac{m v_{0x}}{d}$$

$$v_x(t) = \frac{m v_{0x}}{d} (1 - e^{-\frac{dt}{m}})$$

$$y(t) = \int_0^t v_y(t) = \int_0^t 0 = c t \cdot 0 = 0, \quad \text{car } g(0) = 0$$

$$\cancel{y(t) = \int_0^t v_y(t) = \left[-\frac{m v_{0y} e^{-\frac{dt}{m}}}{d} - \frac{g m t^2}{2} \right]_0^t = -\frac{m v_{0y}}{d} e^{-\frac{dt}{m}} - \frac{g m t^2}{2} + \frac{m v_{0y}}{d}}$$

$$g(t) = \frac{m v_{0y}}{d} (1 - e^{-\frac{dt}{m}}) - \frac{g m t^2}{2}$$

$$\text{car } g(t=0) = 0$$

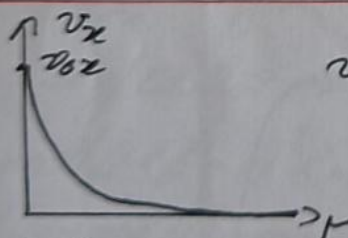
$$\Rightarrow v_y(t) = (v_{0y} + \frac{g m t}{d}) e^{-\frac{dt}{m}} - \frac{g m t}{d}$$

$$g(t) = -\frac{m}{d} (v_{0y} + \frac{g m t}{d}) e^{-\frac{dt}{m}} - \frac{g m t^2}{d} + c t v_2$$

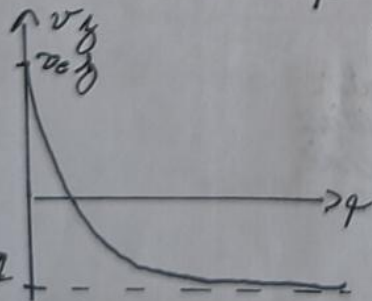
$$\Rightarrow g(0) = 0 = -\frac{m}{d} (v_{0y} + \frac{g m t}{d}) + c t v_2$$

$$\Rightarrow c t v_2 = \frac{m}{d} (v_{0y} + \frac{g m t}{d})$$

$$\Rightarrow g(t) = \frac{m}{d} (v_{0y} + \frac{g m t}{d}) (1 - e^{-\frac{dt}{m}}) - \frac{g m t^2}{d}$$



$$v_x(t) = v_{0x} e^{-\frac{dt}{m}}$$



$$v_y(t) = (v_{0y} + \frac{g m t}{d}) e^{-\frac{dt}{m}} - \frac{g m t}{d}$$

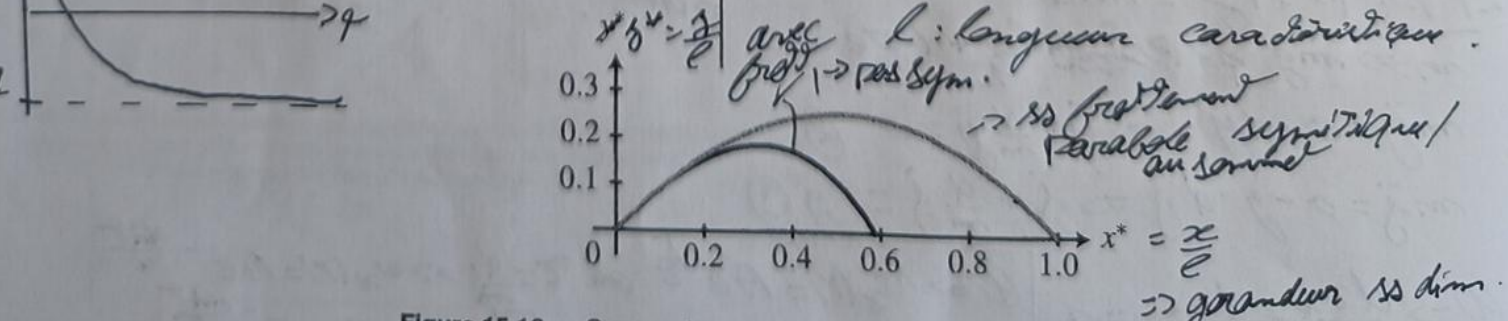
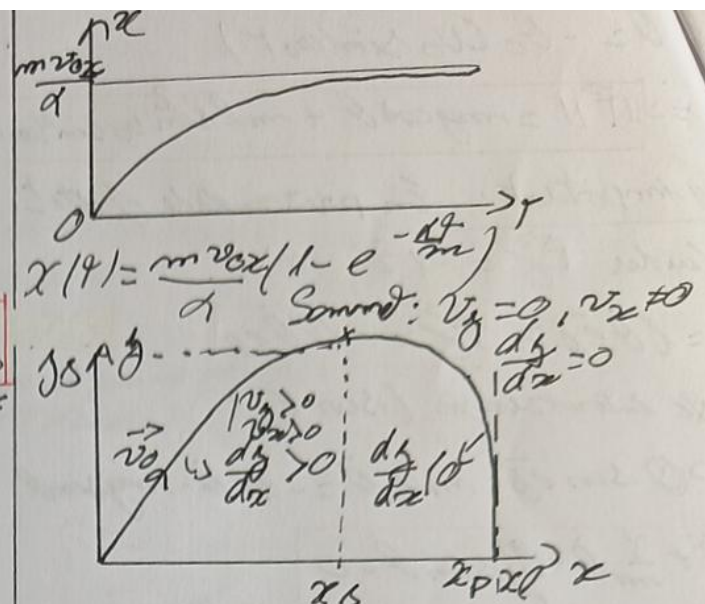


Figure 15.16 – Comparaison entre une trajectoire avec frottement pour laquelle $v_0 = v_f$ (en noir) et une trajectoire sans frottement avec la même vitesse initiale (en gris). Les frottements diminuent la portée sans changer fondamentalement la forme de la trajectoire. L'angle de tir est de 45° par rapport à l'horizontale.



Sommet $y_g : v_y = 0$

$$v_y(t_s) = (v_{0y} + \frac{mg}{d}) e^{-\frac{dt_s}{m}} - \frac{mg}{d} = 0 \\ \Rightarrow t_s \text{ déterminé.}$$

Portée : x_p déterminé numériquement
(pour $y = 0$)

$$t \rightarrow +\infty : \begin{cases} x \rightarrow x_l = -\frac{m v_0}{d} \\ y \rightarrow -\infty \end{cases}$$

$v_x \rightarrow 0$
 $v_y \rightarrow -\frac{mg}{d}$
⇒ asymptote verticale

Rq : $d \rightarrow 0$ on doit rebrousser à tire sans freinage.

IV Scripts python : Chute d'une bille, tir de projectile.

1.) Chute d'une bille avec frottements en $-av$. Ecriture d'une équation adimensionnée

Bille de vitesse initiale nulle, dans le référentiel terrestre galiléen

$$\text{LFD: } \vec{ma} = \vec{F} - \vec{F}_f$$

$$\text{Broj son los: } m\ddot{v} = mg - av \quad v = \dot{v}$$

$$= \frac{d^2v}{dt^2} + \frac{a}{m} v = g$$

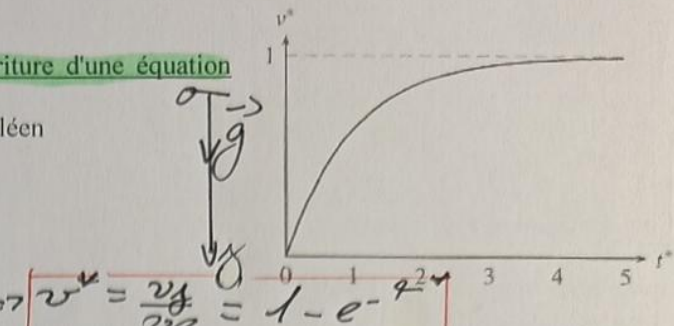
$$v \text{ limite est } \Rightarrow \lim_{t \rightarrow \infty} \frac{dv}{dt} = 0 \Rightarrow av = mg$$

$$\left[\frac{d}{dt} \right] = T^{-1} \quad \frac{a}{m} = \frac{1}{T}$$

$$\Rightarrow \frac{d^2v}{dt^2} + \frac{v}{T} = g \Rightarrow \boxed{\frac{d^2v}{dt^2} + \frac{v}{T} = \frac{mg}{T}}$$

$$\Rightarrow v_T = Ae^{-\frac{t}{T}} + v_0$$

$$v_T(0) = 0 \Rightarrow v_T(t) = v_0 [1 - e^{-\frac{t}{T}}]$$



$$\text{ou } T = \frac{1}{k} \quad k \text{ constante de frottement}$$

on l'appelle de relaxation

2.) Chute d'une bille avec frottements en $-kv^2$. Résolution par la méthode d'Euler

$$\text{LFD: } \vec{ma} = \vec{mg} - kv^2 \vec{v}$$

$$\text{Sur los! } \ddot{v} = g - \frac{k}{m} v^2$$

$$\Rightarrow \boxed{\frac{d^2v}{dt^2} = g - \frac{k}{m} v^2}$$

à résoudre avec Euler.

X
X
X

$$a = \frac{d^2v}{dt^2} = \frac{v_T(t_k+h) - v_T(t_k)}{h}$$

$$\text{où } k = \frac{g}{v_T^2} - \frac{1}{T} \Rightarrow \frac{v_{k+1} - v_k}{h} = g - \frac{k}{m} v_k^2$$

$$a = \frac{v_{k+1} - v_k}{h} = \boxed{v_{k+1} = v_k + h \left[g - \frac{k}{m} v_k^2 \right]}$$

#MC2 chute d'une bille. méthode d'Euler. Permet d'obtenir les courbes données au TD MC2 exo 1)

#Chute libre d'une bille avec résistance de l'air en $-kv^{**2}$ import matplotlib.pyplot as plt
import numpy as np

```
def ordre1_euler(k, V0, tmax, n):
    h = tmax/n
    t = 0
    v = V0
    les_t = [t]
    les_v = [v]
    for i in range(n):
        v = v + h * [g - ((k/m) * v**2)]
        t = t + h
        les_v.append(v)
        les_t.append(t)
    return (les_t, les_v)
```

##Tracé de la solution de la méthode d'Euler

g=9.81#m.s-2

m=1 #kg

tau=1

tmax=50*tau

V0=0 #vitesse initiale

G Bq: Vitesse limite $\Rightarrow \frac{dv}{dt} = 0$

$$\text{Or } \frac{dv}{dt} = g - \frac{k}{m} v^2 = 0$$

$$\Rightarrow v = \sqrt{\frac{mg}{k}} = v_{\text{limite}}$$

$$v \rightarrow v_{\text{limite}} = v_f (\text{sd forces})$$

$$v_{\text{libre}} \rightarrow 0$$

```

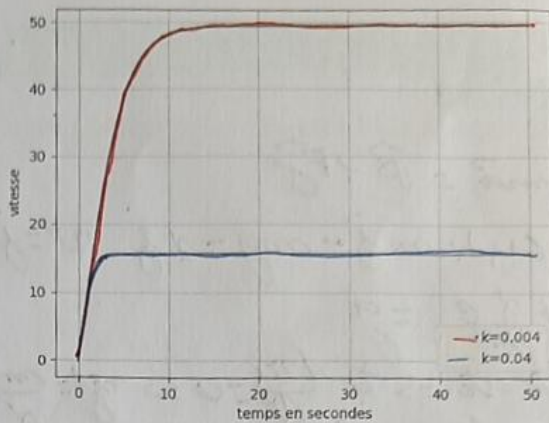
n = 100 #MODIFIER LE NOMBRE DE POINTS
k = 0.004#kg/m-1
les_t, les_v = ordre1_euler( k,V0, tmax, n)
plt.plot(les_t, les_v, color='b',label='k=0.004')
k = 0.04#kg/m-1
les_t, les_v = ordre1_euler( k, V0,tmax, n)
plt.plot(les_t, les_v, color='g',label='k=0.04')

```

```

plt.xlabel('temps en secondes')
plt.ylabel('vitesse')
plt.legend()
plt.grid()
plt.show()

```



3.) Tir de projectile avec frottements en $-kv^2$:

On résout avec odeint : "MC2. boulet"

MORS Programme

```

import matplotlib.pyplot as plt
import numpy as np
import scipy.integrate as spi

```

```

#Parametres
m=8 # kg
rho = 1.2 # kg/m**3 , air
Cx=.2 # sphere
S = 0.3 # m^2
g= 9.80 # m/s**2

```

conditions initiales

```

theta0 = np.pi/4
v0=100 # m/s
etat_initial = [x0,y0,vx0,vy0] = [0,0,v0*np.cos(theta0),v0*np.sin(theta0)]
#equadiff
def equadiff(etat,t):

```

$x, y, vx, vy = etat$
 $v^2 = v_x^2 + v_y^2$
 $\tan \theta = \frac{v_y}{v_x}$
 $F = 1/2 * \rho * S * C_x * v^2$ #force de frottement fluide (norme)
 $F_x = -F * \cos(\theta)$
 $F_y = -F * \sin(\theta)$
 $ax = F_x / m$
 $ay = F_y / m - g$
Projéction dans le plan : $\vec{ma} = \vec{mg} + \vec{F}$
 derivee_de_1_etaut = vx,vy,ax,ay
 return derivee_de_1_etaut

tmax = 30 # > 2v0/g

t=np.linspace(0,tmax,1000) # instants de simulation

plt.close("all")

for theta in range(0,95,5):

```

    theta0 = theta * np.pi / 180
    etat_initial = [x0,y0,vx0,vy0] = [0,0,v0*np.cos(theta0),v0*np.sin(theta0)]
    x,y,vx,vy = spi.odeint(equadiff,etat_initial,t,T)
    air = y>=0
    #print(theta,t[air.argmax()])
    plt.plot(x[air],y[air],label = str(theta)+"°") #pour ne tracer que les y>0
    #plt.plot(x,y,label = str(theta)+"°") #Pour tracer la courbe en entier
  
```

plt.grid()

plt.axis("equal")

plt.legend()

plt.show()

